

- 2.50 mol ideaalikaasua, jonka lämpökapasiteetti $C_{V,m} = 3/2R$, on lämpötilassa $T = 450$ K ja paineessa $P = 0.500$ bar. Kaasua puristetaan kokoon reversiibelisti ja isotermisesti kunnes sen paine on 1.00 bar. Laske q , w , ΔU , ΔH , ΔS , $\Delta S_{surroundings}$, and ΔS_{total} , kun ympäristön lämpötila on 300 K.
- Pb(s) standardientropia $S^\circ = 64.80$ J K⁻¹ mol⁻¹ 298.15 K lämpötilassa. Lyijyn sulamispiste on 327.4 °C ja sulamisentalpia 4770 J mol⁻¹. Kiinteän lyijyn lämpökapasiteetti noudattaa yhtälöä:

$$\frac{C_{P,m}(\text{Pb},s)}{\text{J mol}^{-1} \text{K}^{-1}} = 22.13 + 0.01172 \frac{T}{\text{K}} + 1.00 \times 10^{-5} \frac{T^2}{\text{K}^2}.$$

ja nestemäisen lyijyn yhtälöä:

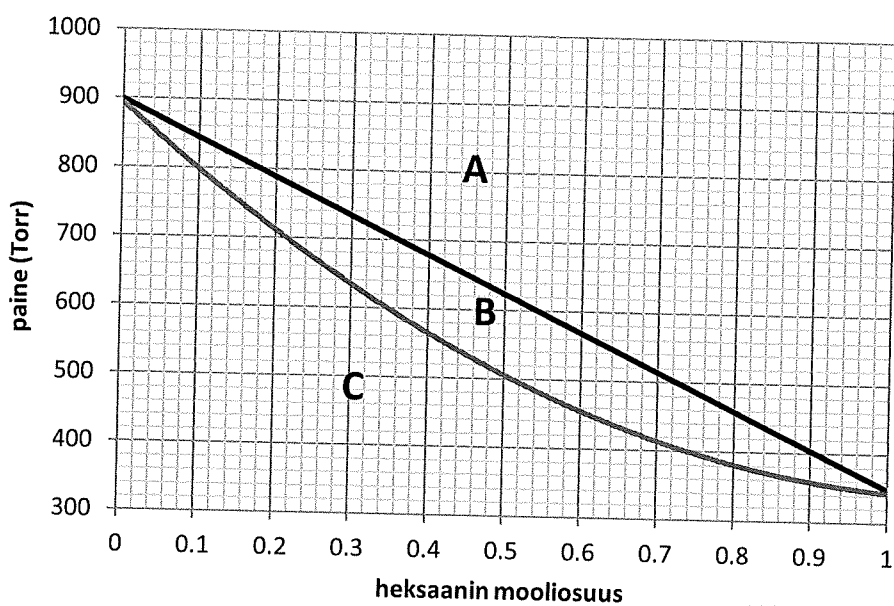
$$\frac{C_{P,m}(\text{Pb},l)}{\text{J K}^{-1} \text{mol}^{-1}} = 32.51 - 0.00301 \frac{T}{\text{K}}.$$

Laske nestemäisen lyijyn Pb(l) standardientropia 500°C lämpötilassa.

- Tarkastellaan reaktiota $\text{C}_2\text{H}_6(g) \rightleftharpoons \text{C}_2\text{H}_4(g) + \text{H}_2(g)$. Alussa reaktioastiassa vain $\text{C}_2\text{H}_6(g)$ lämpötilassa 1000 K ja 1 bar kokonaispaineessa. Tasapainossa seoksen koostumus mooliprosentteina on $\text{H}_2(g)$: 26%, $\text{C}_2\text{H}_4(g)$: 26%, and $\text{C}_2\text{H}_6(g)$: 48%.
 - Laske K_P lämpötilassa 1000 K.
 - Kun $\Delta H^\circ_{reactio} = 137.0$ kJ mol⁻¹ on lämpötilasta riippumaton, laske $\Delta G^\circ_{reactio}$ lämpötilassa 298.15 K.
 - Laske $\Delta A^\circ_{reactio}$ lämpötilassa 298.15 K.
- Veden normaali sulamispiste on 273.15 K ja $\Delta H_{fusion} = 6010$ J mol⁻¹. Kuinka paljon veden sulamispiste alenee 100 bar paineessa? Oleta, että nestemäisen veden ja jään tiheydet pysyvät vakioina ja ovat 997 and 917 kg m⁻³, vastaavasti. $M(\text{H}_2\text{O}) = 18.02$ g mol⁻¹.
 - Kryptonin höyrynpaine noudattaa alla annettua yhtälöä. Kiinteälle kryptonille $a = 10065$ ja $b = 7.1770$ ja nestemäiselle kryptonille $a = 9377.0$ ja $b = 6.92387$. Laske kryptonin kolmoispisteen lämpötila ja paine.
$$\log_{10} \frac{P}{\text{Torr}} = b - 0.05223 \frac{a}{T}$$
- Käyttäen hyväksi Debye-Hückelin rajalakia laske keskiaktiivisuuskerrroin, γ_{\pm} , 5.0×10^{-3} molaaliselle $\text{Ca}(\text{NO}_3)_2$. Oleta suolan dissosioituvan täysin.
 - Hopeakloridi AgCl on niukkaliukoinen suola. Mittausten mukaan liuenneen hopeakloridin konsentraatio kylläisessä vesiliuoksessa 25 °C lämpötilassa on 1.274×10^{-5} mol dm⁻³. Oleta, että Debye-Hückelin rajalaki on voimassa ja laske hopeakloridin liukoisuustulo.

VIIMEINEN TEHTÄVÄ KÄÄNTÖPUOLELLA!

6. Alla olevassa kuvassa on esitetty heksaanin ja heptaanin binäärisen seoksen höyrynpaine-koostumus diagrammi $70\text{ }^{\circ}\text{C}$ lämpötilassa.
- Mitä faaseja on läsnä kirjainten A, B ja C osoittamissa kohdissa?
 - Seos käyttäytyy lähes ideaalisesti. Mitä tämä tarkoittaa?
 - Kun seos sisältää 1 mol sekä heksaani että heptaania, missä höyrynpaineessa seos alkaa kiehua $70\text{ }^{\circ}\text{C}$ lämpötilassa? Mikä on tällöin heksaanin mooliosuus neste- ja höyryfaaseissa?
 - Mikä on höyrynpaine kun c-kohdan seosta on jäljellä enää yksi pisara? Mikä on tällöin heksaanin mooliosuus neste- ja höyryfaaseissa?



Luku 2. Lämpö, työ, sisäenergia, entalpia ja termodynamiikan 1. Pääsääntö

$\Delta U = q + w$	$w = - \int_{V_i}^{V_f} P_{external} dV$	$w = -P_{external} \Delta V$
$w = -nRT \ln \frac{V_f}{V_i}$	$\Delta H = q_P = C_P \Delta T$	$\Delta U = q_V = C_V \Delta T$
$C_P - C_V = nR$ tai $C_{P,m} - C_{V,m} = R$		$\Delta H = \Delta U + \Delta(PV)$
Ideaalikaasujen reversiibeli adiabaattinen laajeneminen: $C_V \ln \frac{T_f}{T_i} = -nR \ln \frac{V_f}{V_i}$		
$\ln \left(\frac{T_f}{T_i} \right) = (1 - \gamma) \ln \left(\frac{V_f}{V_i} \right)$ eli $\frac{T_f}{T_i} = \left(\frac{V_f}{V_i} \right)^{1-\gamma}$ $P_i V_i^\gamma = P_f V_f^\gamma$ $\gamma = \frac{C_{P,m}}{C_{V,m}}$		

Luku 3. Tilan funktioiden merkitys: sisäenergia ja entalpia

Tilavuuden terminen laajenemiskerroin: $\beta = \frac{1}{V} \left(\frac{\partial V}{\partial T} \right)_P$	$\mu_{J-T} = \left(\frac{\partial T}{\partial P} \right)_H$	$\left(\frac{\partial H}{\partial P} \right)_T = -C_P \mu_{J-T}$
Isoterminen puristuvuus: $\kappa = -\frac{1}{V} \left(\frac{\partial V}{\partial P} \right)_T$	$C_P = C_V + TV \frac{\beta^2}{\kappa}$ tai $C_{P,m} = C_{V,m} + TV_m \frac{\beta^2}{\kappa}$	
$\Delta U_V = \int_{T_1}^{T_2} C_V(T) dT = n \int_{T_1}^{T_2} C_{V,m}(T) dT$	$\Delta H_P = \int_{T_i}^{T_f} C_P(T) dT = n \int_{T_i}^{T_f} C_{P,m}(T) dT$	

Luku 4. Termokemia

$\Delta H^\circ_R = \sum_i \nu_i \Delta H^\circ_{f,i}$	$\Delta H^\circ_{R,T_2} = \Delta H^\circ_{R,T_1} + n \int_{T_1}^{T_2} \Delta C_P(T) dT$	$\Delta C_{P,R}(T') = \sum_i \nu_i C_{P,i}(T')$
$\Delta U_R = q_{sys} = -q_{surr} = -C_{calorimeter} \Delta T$		$\Delta H^\circ_R = \Delta U^\circ_R + \Delta n_g RT$

Luku 5. Entropia sekä termodynamiikan 2. ja 3. Pääsääntö

$\varepsilon = \frac{ w_{cycle} }{q_{ab}} = \frac{T_{hot} - T_{cold}}{T_{hot}} = 1 - \frac{T_{cold}}{T_{hot}} < 1$	$\Delta S = \int \frac{dq_{reversible}}{T}$
$\Delta S = nR \ln \frac{V_f}{V_i} + nC_{V,m} \ln \frac{T_f}{T_i}$	$\Delta S = -nR \ln \frac{P_f}{P_i} + nC_{P,m} \ln \frac{T_f}{T_i}$
$\Delta S = \int_{T_i}^{T_f} \frac{C_V}{T} dT + \int_{V_i}^{V_f} \frac{\beta}{\kappa} dV = C_V \ln \frac{T_f}{T_i} + \frac{\beta}{\kappa} (V_f - V_i)$	$\Delta S = \int_{T_i}^{T_f} \frac{C_P}{T} dT - \int_{P_i}^{P_f} V \beta dP$

$\Delta S_{surr} = \frac{q_{surr}}{T_{surr}}$	$\Delta S^{\circ}_R = \sum_i \nu_i S^{\circ}_i$	$\Delta S^{\circ}_{R,T_2} = \Delta S^{\circ}_{R,T_1} + \int_{T_1}^{T_2} \frac{\Delta C^{\circ}_P}{T} dT$
-----------------------------------------------	-------------------------------------------------	----------------------------------------------------------------------------------------------------------

Luku 6. Kemiallinen tasapaino

$\Delta A = \Delta U - T\Delta S$	$\Delta G = \Delta H - T\Delta S$	$dU = TdS - PdV$	
$dH = TdS + VdP$	$dA = -SdT - PdV$	$dG = -SdT + VdP$	
$\left(\frac{\partial U}{\partial S}\right)_V = T \text{ ja } \left(\frac{\partial U}{\partial V}\right)_S = -P$	$\left(\frac{\partial T}{\partial V}\right)_S = -\left(\frac{\partial P}{\partial S}\right)_V$	$\left(\frac{\partial H}{\partial S}\right)_P = T \text{ ja } \left(\frac{\partial H}{\partial P}\right)_S = V$	
$\left(\frac{\partial T}{\partial P}\right)_S = -\left(\frac{\partial V}{\partial S}\right)_P$	$\left(\frac{\partial A}{\partial T}\right)_V = -S \text{ ja } \left(\frac{\partial A}{\partial V}\right)_T = -P$	$\left(\frac{\partial S}{\partial V}\right)_T = \left(\frac{\partial P}{\partial T}\right)_V = \frac{\beta}{\kappa}$	
$\left(\frac{\partial G}{\partial T}\right)_P = -S \text{ ja } \left(\frac{\partial G}{\partial P}\right)_T = V$	$-\left(\frac{\partial S}{\partial P}\right)_T = \left(\frac{\partial V}{\partial T}\right)_P = V\beta$	$\mu_i = \left(\frac{\partial G}{\partial n_i}\right)_{P,T,n_j \neq n_i}$	$G = \sum_i n_i \mu_i$
$\frac{\Delta G(T_2)}{T_2} = \frac{\Delta G(T_1)}{T_1} + \Delta H(T_1) \left(\frac{1}{T_2} - \frac{1}{T_1}\right)$	$\mu_i = \left(\frac{\partial G}{\partial n_i}\right)_{P,T,n_j \neq n_i}$	$\Delta G_{mixing} = nRT \sum_i x_i \ln x_i$	
$\Delta S_{mixing} = -nR \sum_i x_i \ln x_i$	$\Delta G^{\circ}_R = \sum_i \nu_i \Delta G^{\circ}_{f,i}$	$G(T, P) = G^{\circ}(T) + \int_{P^{\circ}}^P V dP'$	
$\Delta G_R = \Delta G^{\circ}_R + RT \ln Q_P$	$Q_P = \frac{\left(\frac{P_C}{P^{\circ}}\right)^{\gamma} \left(\frac{P_D}{P^{\circ}}\right)^{\delta}}{\left(\frac{P_A}{P^{\circ}}\right)^{\alpha} \left(\frac{P_B}{P^{\circ}}\right)^{\beta}}$	$K_P = \frac{\left(\frac{P_C^{eq}}{P^{\circ}}\right)^c \left(\frac{P_D^{eq}}{P^{\circ}}\right)^d}{\left(\frac{P_A^{eq}}{P^{\circ}}\right)^a \left(\frac{P_B^{eq}}{P^{\circ}}\right)^b}$	$K_x = K_P \left(\frac{P}{P^{\circ}}\right)^{-\Delta \nu}$ $K_c = K_P \left(\frac{c^{\circ}RT}{P^{\circ}}\right)^{-\Delta \nu}$
$\Delta G_R = \Delta G^{\circ}_R + \gamma RT \ln \frac{P_C}{P^{\circ}} + \delta RT \ln \frac{P_D}{P^{\circ}} - \alpha RT \ln \frac{P_A}{P^{\circ}} - \beta RT \ln \frac{P_B}{P^{\circ}}$			
$\Delta G^{\circ}_R = -RT \ln K_P$	$\ln K_P(T_f) = \ln K_P(T_i) - \frac{\Delta H^{\circ}_{reaction}}{R} \left(\frac{1}{T_f} - \frac{1}{T_i}\right)$		

Luku 7. Reaalikaasujen ominaisuudet

$vdW: P = \frac{RT}{V_m - b} - \frac{a}{V_m^2} = \frac{nRT}{V - nb} - \frac{n^2 a}{V^2}$	$z = \frac{V_m}{V_m^{ideal}} = \frac{PV_m}{RT}$	$T_B = \frac{a}{Rb}$
$RK: P = \frac{RT}{V_m - b} - \frac{a}{\sqrt{T} V_m (V_m + b)} = \frac{nRT}{V - nb} - \frac{n^2 a}{\sqrt{T} V (V + nb)}$		

Luku 8. Faasidiagrammit

$\frac{dP}{dT} = \frac{\Delta S_m}{\Delta V_m}$	$\int_{P_i}^{P_f} \frac{dP}{P} = \frac{\Delta H_m^{vaporization}}{R} \times \int_{T_i}^{T_f} \frac{dT}{T^2}$	$\ln \frac{P_f}{P_i} = -\frac{\Delta H_m^{vaporization}}{R} \times \left(\frac{1}{T_f} - \frac{1}{T_i} \right)$
-------------------------------------------------	--------------------------------------------------------------------------------------------------------------	------------------------------------------------------------------------------------------------------------------

Luku 9. Ideaali- ja reaaliliuokset

Raoultin laki: $P_i = x_i P_i^*$	Henryn laki: $P_i = x_i k_H^i$	Daltonin osapainelaki: $y_i = \frac{P_i}{P_{total}}$
Kemiallinen potentiaali: $\mu_i^{solution} = \mu_i^* + RT \ln \frac{P_i}{P_i^*} = \mu_i^* + RT \ln a_i$		Aktiivisuus: $a_i = \frac{P_i}{P_i^*} = \gamma_i x_i$
Kemiallinen potentiaali: $\mu_i^{solution} = \mu_i^* + RT \ln \frac{P_i}{P_i^*} = \mu_i^* + RT \ln a_i$		
Gibbs – Duhem yhtälö: $\sum_i n_i d\mu_i = 0 \quad T, P \text{ vakioita}$		Osmoottinen paine: $\pi = \frac{n_{solute} RT}{V}$
Jäätymispisteen alenema: $\Delta T_f = -K_f m_{solute}$	Kiehumispisteen kohoama: $\Delta T_b = K_b m_{solute}$	
Partiaalin moolitilavuus: $\bar{V}_1(P, T, n_1, n_2) = \left(\frac{\partial V}{\partial n_1} \right)_{T, P, n_2}$ $V = n_1 \bar{V}_1(P, T, n_1, n_2) + n_2 \bar{V}_2(P, T, n_1, n_2)$		Tasapainovakio: $K = \prod_i (a_i^{eq})^{\nu_j}$ $= \prod_i (\gamma_i^{eq})^{\nu_j} \left(\frac{c_i^{eq}}{c^\circ} \right)^{\nu_j}$

Luku 10. Elektrolyyttiliuokset

Aktiivisuus: $a_i = m_i \gamma_i$	Keskiaktiivisuuskerroin: $\gamma_{\pm}^{\nu} = \gamma_+^{\nu_+} \gamma_-^{\nu_-}$	$\nu = \nu_+ + \nu_-$
Ionivahvuus: $I = \frac{m}{2} \sum (v_i z_i^2) = \frac{1}{2} \sum (m_i z_i^2)$		
Keskiaktiivisuuskerroin vesiliuoksessa 25 °C lämpötilassa: $\log \gamma_{\pm} = -0.5092 z_+ z_- \sqrt{I}$ tai $\ln \gamma_{\pm} = -1.173 z_+ z_- \sqrt{I}$		
Ionin aktiivisuuskerroin vesiliuoksessa 25 °C lämpötilassa: $\log \gamma_i = -0.5092 (z_i)^2 \sqrt{I}$ tai $\ln \gamma_i = -1.173 (z_i)^2 \sqrt{I}$		
Reaktiolle: $A_{\nu_+} B_{\nu_-} \rightarrow \nu_+ A^{z_+} + \nu_- A^{z_-}$ liukoisuustulo on $K_s = a_+^{\nu_+} a_-^{\nu_-}$ ja liukoisuus $s = \frac{1}{\nu_+} m_+ = \frac{1}{\nu_-} m_-$		

Length									
meter (SI unit)	m								Atomic mass constant
centimeter	cm	$\text{cm} = 10^{-2} \text{ m}$							Avogadro's constant
ångström	Å	$= 10^{-10} \text{ m}$							Bohr magneton
micron	μ	$= 10^{-6} \text{ m}$							Bohr radius
Volume									Boltzmann constant
cubic meter (SI unit)	m^3								Electron rest mass
liter	L	$= \text{dm}^3 = 10^{-3} \text{ m}^3$							Faraday constant
Mass									Gravitational constant
kilogram (SI unit)	kg								Standard acceleration of gravity
gram	g	10^{-2} kg							Molar gas constant
Energy									Molar volume, ideal gas (1 bar, 0°C)
joule (SI unit)	J								(1 atm, 0°C)
erg	erg	$= 10^{-7} \text{ J}$							Nuclear magneton
rydberg	Ry	$= 2.17987 \times 10^{-18} \text{ J}$							Permittivity of vacuum
electron volt	eV	$= 1.60218 \times 10^{-19} \text{ J}$							Planck constant
inverse centimeter	cm^{-1}	$= 1.98645 \times 10^{-23} \text{ J}$							Proton charge
calorie (thermochemical)	Cal	$= 4.184 \text{ J}$							Proton magnetogyric ratio
liter atmosphere	l atm	$= 101.325 \text{ J}$							Proton rest mass
Pressure									Rydberg constant
pascal (SI unit)	Pa								Rydberg constant for H
atmosphere	atm	$= 101325 \text{ Pa}$							Speed of light in vacuum
bar	bar	$= 10^5 \text{ Pa}$							Stefan-Boltzmann constant
torr	Torr	$= 133.322 \text{ Pa}$							
pounds per square inch	psi	$= 6.894757 \times 10^3 \text{ Pa}$							
Power									
watt (SI unit)	W								
Horsepower	hp	$= 745.7 \text{ W}$							

$$1.6605402 \times 10^{-27} \text{ kg}$$

$$6.0221367 \times 10^{23} \text{ mol}^{-1}$$

$$9.2740154 \times 10^{-24} \text{ J}^{-1}$$

$$5.29177249 \times 10^{-11} \text{ m}$$

$$1.380658 \times 10^{-23} \text{ JK}^{-1}$$

$$0.695038 \text{ cm}^{-1} \text{ K}^{-1}$$

$$9.1093897 \times 10^{-31} \text{ kg}$$

$$9.6485309 \times 10^4 \text{ Cmol}^{-1}$$

$$6.67259 \times 10^{-11} \text{ m}^3 \text{ kg}^{-1} \text{ s}^{-2}$$

$$9.80665 \text{ ms}^{-2}$$

$$8.3145101 \text{ JK}^{-1} \text{ mol}^{-1}$$

$$22.71198 \text{ L mol}^{-1}$$

$$22.41409 \text{ L mol}^{-1}$$

$$5.0507866 \times 10^{-27} \text{ JT}^{-1}$$

$$8.854187816 \times 10_{-12} \text{ C}^2 \text{ J}^{-1} \text{ m}^{-1}$$

$$6.6260755 \times 10^{-34} \text{ Js}$$

$$1.05457266 \times 10^{-27} \text{ Js}$$

$$1.60217733 \times 10^{-19} \text{ C}$$

$$2.67522128 \times 10^8 \text{ s}^{-1} \text{ T}^{-1}$$

$$1.6726231 \times 10^{-27} \text{ kg}$$

$$2.1798736 \times 10^{-18} \text{ J}$$

$$10973731.534 \text{ m}^{-1}$$

$$109677.581 \text{ cm}^{-1}$$

$$2.99792458 \times 10^8 \text{ ms}^{-1}$$

$$5.67051 \times 10^{-8} \text{ Jm}^{-2} \text{ K}^{-4} \text{ s}^{-1}$$

amu

N_A

$$\mu_B = e\hbar/2m_e$$

$$a_0 = 4\pi\epsilon_0\hbar^2/m_e e^2$$

k_B

k_B/hc

m_e

F

G

G_n

R

R

$\mu_N = e\hbar/2m_p$

ϵ_0

h

\hbar

e

γ_p

m_p

$$R_\infty = m_e e^4 / 8\epsilon_0^2 h^2$$

R_H

c

$$\sigma = 2\pi^5 k_B^4 / 15h^3 c^2$$